

## ТОРМОЗНОЕ ИЗЛУЧЕНИЕ В РАССЕЯНИИ ЭЛЕКТРОНОВ НА ЭЛЕКТРОНАХ ПРИ ЭНЕРГИИ $2 \times 160 \text{ Мэв}$

П. И. ГОЛУБНИЧИЙ, Е. А. КУШНИРЕНКО, А. П. ОНУЧИН, В. А. СИДОРОВ

ИНСТИТУТ ЯДЕРНОЙ ФИЗИКИ СО АН СССР

(Поступила в редакцию 29 декабря 1967 г.)

На новосибирской установке со встречными пучками ВЭП-1 изучался процесс тормозного излучения в рассеянии электронов на электронах при энергии  $2 \times 160 \text{ Мэв}$ . Измерялось интегральное сечение образования  $\gamma$ -квантов и вероятности излучения при рассеянии электронов на малый ( $\sim 1,5^\circ$ ) и большой ( $40 \div 90^\circ$ ) углы. Экспериментальные данные согласуются с результатами квантовоэлектродинамических расчетов.

### Введение

Понятие упругого рассеяния заряженных частиц является в известной мере идеализацией, так как всякое изменение импульса заряженной частицы должно сопровождаться излучением. В экспериментах по рассеянию ультраквантитативистских электронов процесс тормозного излучения заметно искажает энергетический спектр и угловое распределение. Теоретическое рассмотрение этого вопроса сводится к учету так называемых радиационных поправок к однофотонному приближению. Корректный учет радиационных поправок необходим в экспериментах по рассеянию электронов на электронах, проводимых для проверки применимости квантовой электродинамики на малых расстояниях [1]. В виде, наиболее адекватном современной технике эксперимента, этот вопрос теоретически рассмотрен Байером и др. [2]. Несмотря на то что для наших экспериментов по рассеянию электронов на электронах с энергией до  $2 \times 160 \text{ Мэв}$  величина радиационных поправок должна быть невелика, решено было провести прямое изучение процесса тормозного излучения.

Работа выполнена на новосибирской установке ВЭП-1 со встречными электронными пучками [3, 4] при энергии  $2 \times 160 \text{ Мэв}$ . Проведены измерения интегрального сечения образования  $\gamma$ -квантов тормозного излучения и вероятности их

образования при рассеянии электронов на малый ( $\sim 1,5^\circ$ ) и большой ( $> 40^\circ$ ) углы.

Удобной для эксперимента особенностью процесса тормозного излучения являются резко выраженные максимумы углового распределения

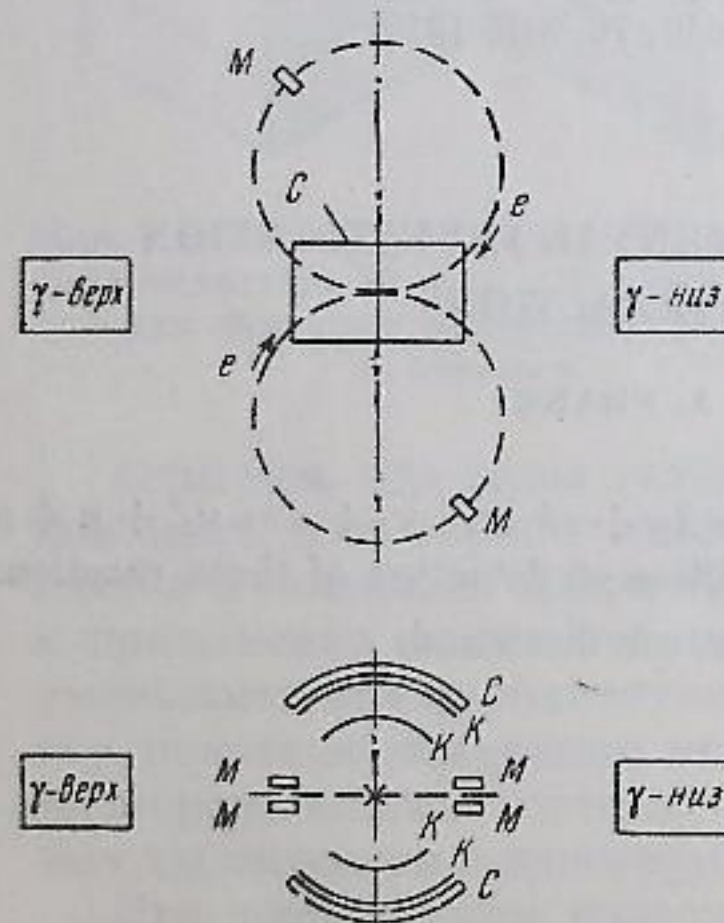


Рис. 1. Геометрическая схема эксперимента:  $K$  — искровые камеры;  $C$  — счетчики для запуска искровых камер;  $M$  — счетчики электронов, рассеянных на малый угол;  $\gamma$ -верх и  $\gamma$ -низ — счетчики  $\gamma$ -квантов. Апертура  $\gamma$ -счетчика равна  $2\theta = 3,2^\circ$

$\gamma$ -квантов в направлении движения начальных электронов. Это позволяет использовать счетчики  $\gamma$ -квантов со сравнительно небольшой апертурой. На рис. 1 показана геометрическая схема эксперимента. Регистрация  $\gamma$ -квантов производится счетчиками полного поглощения на кристаллах  $\text{NaJ}(\text{Tl})$  цилиндрической формы диаметром и высотой 15 см [5]. Регистрация электронов, рассеянных на малый угол, производится сцинтиляционными счетчиками, помещенными на магнитной дорожке накопителя [6]. Электроны, рассеянные на большой угол, регистрируются двумя парами цилиндрических искровых камер, запускаемых системой сцинтиляционных счетчиков [3].

### 1. Интегральное сечение тормозного излучения

Из-за своего большого сечения тормозное излучение оказалось первым процессом взаимодействия элементарных частиц, зарегистрированным на установках со встречными пучками [7]. По той же причине этот процесс представляет интерес в качестве мониторирующего при изучении более редких событий.

Скорость счета  $\gamma$ -квантов удобно записать в виде

$$n_\gamma = \frac{I_1 I_2}{e^2 f S_{\text{эфф}}} \sigma_p, \quad (1)$$

где  $I_1, I_2$  — токи на дорожках,  $e$  — заряд электрона,  $f$  — частота ускоряющего напряжения на резонаторе,  $S_{\text{эфф}}$  — эффективная площадь взаимодействия пучков,  $\sigma_p$  — сечение регистрации, равное

$$\sigma_p = \sigma_\gamma \delta \varepsilon, \quad (2)$$

где  $\sigma_\gamma$  — сечение [8-10], проинтегрированное по телесному углу счетчиков для центра области взаимодействия,  $\delta$  — коэффициент усреднения сечения по области взаимодействия пучков,  $\varepsilon$  — эффективность регистрации. Точный расчет  $\delta$  в данном случае осложнен тем, что электроны в месте встречи движутся по круговым орбитам [6]. Грубые оценки показывают, что  $\delta = 0,5$ . Возможная систематическая ошибка величины  $\delta$ , по нашим оценкам, не должна превышать 30%. Эффективность регистрации  $\gamma$ -квантов, обусловленная главным образом их ослаблением на пути до сцинтилятора, составляет  $\sim 0,7$ . Расчетное значение сечения регистрации для рабочего порога дискриминации 3 Мэв равно  $\sigma_p = 50 \text{ мбн}$ . Определение абсолютного сечения по измерению скорости счета (1) можно сделать лишь грубо, так как размеры пучков известны с плохой точностью и к тому же меняются из-за эффектов встречи и в зависимости от токов. Поэтому в данной работе проведено измерение отношения сечений процессов однократного тормозного излучения и рассеяния электронов на малый угол. В свою очередь, для исключения ошибок в определении сечения регистрации рассеянных электронов на малый угол, связанных с неточным знанием геометрического положения счетчиков, были использованы результаты одновременного измерения рассеянных электронов на малые и большие углы [4].

Основным фоновым процессом является однократное тормозное излучение на остаточном газе в камере. Загрузка счетчика фоновыми  $\gamma$ -квантами составляет

$$n_{\text{фон}} = \frac{INd}{e} \sigma_{\text{фон}}, \quad (3)$$

где  $I$  — ток на дорожке;  $N$  — число атомов воздуха в  $1 \text{ см}^3$ ;  $d$  — средняя длина участка орбиты, с которого попадают  $\gamma$ -кванты в счетчик;  $\sigma_{\text{фон}}$  — сечение

чение регистрации фонового процесса. Отношение эффект — фон определяется соотношением

$$\frac{n_\gamma}{n_{\text{фон}}} = \frac{1}{S_{\text{эфф}} N_{\text{def}}} \frac{\sigma_\gamma}{\sigma_{\text{фон}}} \delta I_2, \quad (4)$$

где  $I_2$  — ток второго пучка, если первым считать тот, который движется по направлению на счетчик. Отметим, что отношение  $\sigma_\gamma / \sigma_{\text{фон}}$  практически не зависит от порога дискриминации и составляет примерно  $1/30$ .

Эксперимент проводился при вакууме около  $3 \cdot 10^{-8}$  мм рт. ст.,  $S_{\text{эфф}} = 10^{-2} \text{ см}^2$ ,  $d = 3 \text{ см}$ . При этих условиях для  $I_2 = 30 \text{ мА}$  отношение эффекта к фону (4) должно составлять 0,5. Следует заметить, что это предельное отношение эффекта к фону. На самом деле фон больше, та-

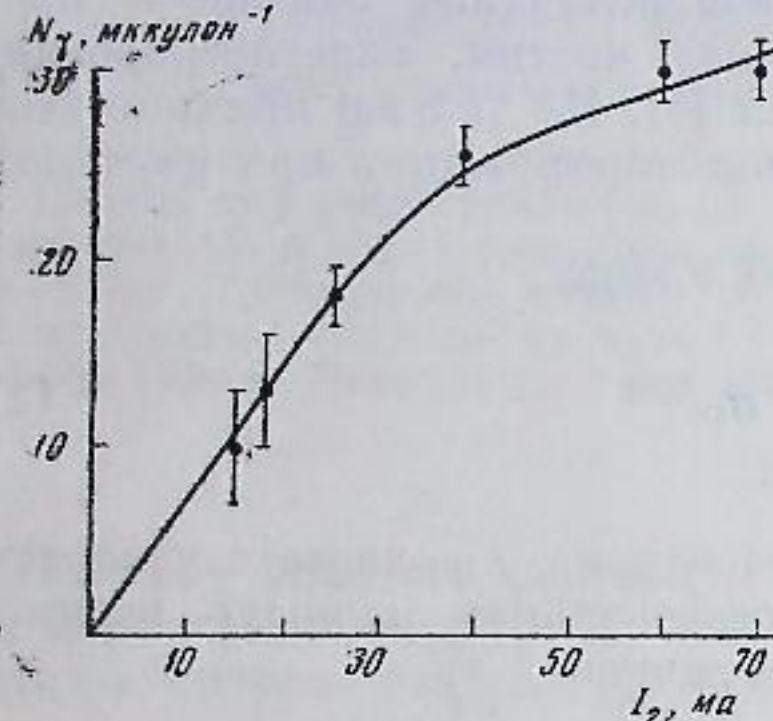


Рис. 2

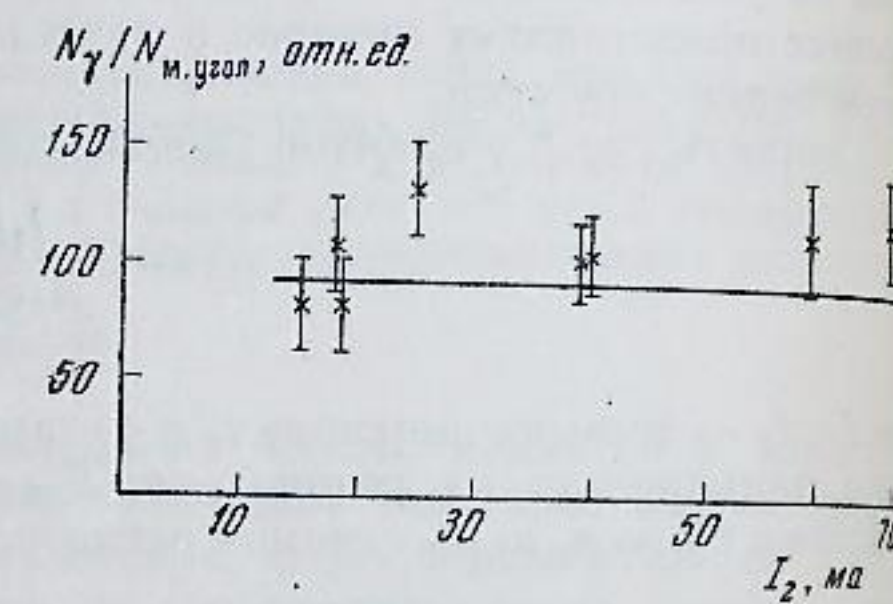


Рис. 3

Рис. 2. Зависимость числа зарегистрированных гамма-квантов от тока второго пучка. Нормировка сделана на 1 мккулон первого пучка

Рис. 3. Отношение числа гамма-квантов к числу событий рассеяния электронов на малый угол в зависимости от тока второго пучка

как в счетчики попадают гамма-кванты не только из места встречи. Измерение однократного тормозного излучения производилось счетчиком, в который попадают гамма-кванты от пучка с верхней дорожки. Измерения при встречающихся пучках чередовались с измерениями при разведенных по фазе пучках. Отношение эффекта к фону составляло около 0,3 при токе второго пучка 40 мА. Зависимость числа отсчетов от тока второго пучка представлена на рис. 2, нормировка сделана на 1 мккулон первого пучка. Отклонение от линейной зависимости при больших токах обусловлено эффектами встречи. На рис. 3 представлена аналогичная зависимость отношений числа гамма-квантов к числу событий рассеяния электронов на малый угол. Сплошная линия — расчетное значение этого отношения. Как видно, экспериментальные результаты согласуются с расчетом.

## 2. Вероятность излучения при рассеянии электронов на малый угол

Эффективное сечение процесса равно (формула (7) работы [1])

$$d\sigma = d\sigma_0 dW(\omega),$$

где  $d\sigma_0$  — меллеровское сечение;  $dW = k(d\omega/\omega)$ ,  $k$  — коэффициент, зависящий от геометрии счетчиков электронов и гамма-квантов,  $\omega$  — энергия гамма-кванта. В нашем случае путь рассеянного электрона до счетчика проходит в основном магнитном поле накопителя. Поэтому эффективный размер электронных счетчиков зависит от энергии регистрируемых гамма-

квантов. Геометрические размеры счетчиков в радиальном направлении такие, что не регистрируются события с энергией гамма-кванта, большей 3,8 МэВ. Расчетная форма спектра гамма-квантов с учетом действия магнитного поля приведена на рис. 4. Сечение регистрации процесса записано в виде

$$\sigma_p = \sigma_{\text{м.угол}} W \delta \varepsilon,$$

где  $\sigma_{\text{м.угол}}$  — эффективное сечение для счетчиков под малыми углами;  $\delta \varepsilon$  имеет тот же смысл, что и в предыдущем разделе, а  $W$  — вероятность излучения гамма-квантов, регистрируемых в условиях эксперимента. Для порога регистрации гамма-квантов 1 МэВ расчетное значение  $W = 5 \cdot 10^{-3}$ . Замечания предыдущего раздела по отношению к величине  $\delta \varepsilon$  полностью относятся и к этому эксперименту. Усредненное по спектру значение эффективности  $\varepsilon = 0,65$ . Сечение регистрации процесса  $\sigma_p = 3 \cdot 10^{-30} \text{ см}^2$ .

Выделение событий проводилось по совпадениям импульсов с выхода системы регистрации рассеянных электронов на малый угол [6] и импульсов с гамма-счетчика. При наличии совпадений проводился амплитудный анализ импульсов с гамма-счетчика. Разрешающее время схемы совпадений составляло  $2\tau = 0,4 \text{ мксек}$ . Поскольку фон при регистрации электронов под малыми углами составляет  $\sim 5\%$  эффекта, то основным фоновым процессом являются случайные совпадения импульсов от гамма-счетчика с событиями рассеяния электронов на малый угол. Изменение фона проводилось методом введения задержки в схему совпадений. Отношение эффект — фон составляло около единицы. За весь цикл измерений зарегистрировано около 1000 событий.

На рис. 4 приведены экспериментальные результаты распределения гамма-квантов по энергии. Сплошная кривая — расчетная форма спектра с привязкой по оси ординат в области энергий 1 МэВ. Видно, что экспериментальные результаты согласуются с расчетом. Некоторое расхождение в конце спектра может быть связано с ошибками в определении геометрического положения счетчиков под малыми углами.

Экспериментальное значение вероятности излучения

$$W = (4,6 \pm 0,4) \cdot 10^{-3}$$

хорошо согласуется с расчетом. Указанная здесь ошибка является статистической.

## 3. Вероятность излучения при рассеянии электронов на большой угол

Регистрация событий проводилась по совпадениям импульсов с выходом системы регистрации электронов, рассеянных на большие углы, с импульсами от гамма-счетчиков. При наличии совпадений проводился амплитудный анализ импульса с гамма-счетчиком. Регистрация случаев рассеяния электронов осуществлялась системой искровых камер с фотографической регистрацией [3]. Данные амплитудного анализа выводились на этот же кадр. Для увеличения статистической точности в данном эксперименте

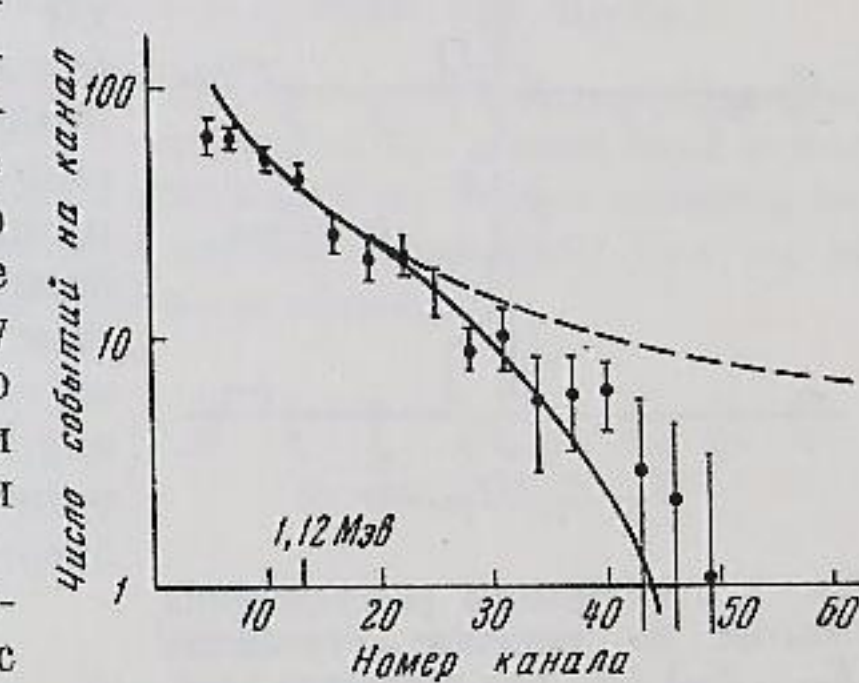


Рис. 4. Энергетический спектр гамма-квантов при рассеянии электронов на малый угол. Сплошная кривая — расчетная форма спектра с учетом действия магнитного поля; пунктирная — без учета магнитного поля

использовалось два счетчика  $\gamma$ -квантов, регистрирующих излучение электронов с верхней и нижней дорожки, которые дальше для удобства будут называться соответственно «верхним» и «нижним». Диапазон энергии регистрируемых  $\gamma$ -квантов составлял от 3 до 80 Мэв.

Сечение регистрации для этого эксперимента по аналогии с предыдущим разделом запишем в виде

$$\sigma_p = \sigma_{\text{б. угол}} W \delta e,$$

где  $\sigma_{\text{б. угол}}$  — сечение рассеяния на большие углы;  $W$  — вероятность излучения  $\gamma$ -кванта;  $\delta$  и  $e$  имеют прежний смысл. Расчет вероятности излучения произведен на основе формулы (3) работы [11], записанной в симметричном виде по углам рассеяния электронов также, как в работе [2]. Расчетное значение вероятности излучения для двух  $\gamma$ -счетчиков в указанном диапазоне энергии равно

$$W = 5,7 \cdot 10^{-2}.$$

Сечение регистрации составляет  $\sigma_p = 1,1 \cdot 10^{-32} \text{ см}^2$ .

Рис. 5. Гистограммы распределения событий по величине отношения  $(E_{\gamma\alpha} - E_{\gamma p}) / E_{\gamma\alpha}$  при рассеянии электронов на большой угол

Среди 724 событий рассеяния электронов на большой угол было обнаружено 18 случаев с излучением  $\gamma$ -кванта. На рис. 5 даны гистограммы распределения этих событий по величине  $(E_{\gamma\alpha} - E_{\gamma p}) / E_{\gamma\alpha}$  для верхнего и нижнего счетчиков и их сумма. Здесь  $E_{\gamma\alpha}$  — энергия  $\gamma$ -квантов по данным амплитудного анализа, а  $E_{\gamma p}$  — энергия кванта, вычисленная по данным искровых камер:

$$E_{\gamma p} = E \Delta \theta / \sin \theta,$$

где  $\theta$  — средний угол рассеяния,  $\Delta \theta$  — угол неколлинеарности между рассеянными электронами,  $E$  — начальная энергия электрона. Истинные события в таком представлении должны быть локализованы около нуля. Видно наличие резко выраженного пика около нуля. События, далеко расположенные от нуля, могут быть отнесены к фоновым. В суммарной гистограмме можно считать, что таких событий три. Это число фоновых событий находится в согласии с оценкой числа случайных совпадений по загрузкам  $\gamma$ -счетчиков. При таком отборе фона экспериментальное значение вероятности излучения  $W = (5,5 \pm 1,7) \cdot 10^{-2}$ . Указанная здесь ошибка является статистической.

В заключение авторы считают приятным долгом выразить благодарность большому коллективу сотрудников, работающих на установке ВЭП-1, а также В. Н. Байеру, В. С. Фадину и В. А. Хозе за обсуждение теоретических вопросов работы.

#### Литература

- [1] V. N. Bayer, S. A. Kheifets. Nucl. Phys., 47, 313, 1963.
- [2] В. Н. Байер, В. С. Фадин, В. А. Хозе. ЯФ, 6, 560, 1967.
- [3] Г. И. Будкер, Е. А. Кушниренко, А. А. Наумов и др. Атомная энергия, 19, 498, 1965.
- [4] Г. И. Будкер, Е. А. Кушниренко, Р. Л. Лебедев и др. ЯФ, 6, 1221, 1967.
- [5] П. И. Голубничий, А. П. Онучин, С. Г. Попов, В. А. Сидоров. Атомная энергия, 22, 168, 1967.
- [6] В. Л. Ауслендер, С. И. Мишнев, А. П. Онучин и др. Атомная энергия, 22, 174, 1967.

- [7] C. Bernardini, G. F. Corazza, G. Di Ciugno et al. Nuovo Cim., 34, 1473, 1964.
- [8] V. N. Bayer, V. M. Galitsky. Phys. Lett., 13, 355, 1964.
- [9] G. A. Altarelli, F. Buccella. Nuovo Cim., 34, 1337, 1964.
- [10] В. Н. Байер, В. С. Фадин, В. А. Хозе. ЖЭТФ, 51, 1135, 1966.
- [11] В. Н. Байер, В. С. Фадин, В. А. Хозе. ДАН СССР, 174, 323, 1967.

#### BREMSSTRAHLUNG IN THE ELECTRON-ELECTRON SCATTERING AT $2 \times 160 \text{ MeV}$

P. I. GOLUBNICHYI, E. A. KUSHNIRENKO, A. P. ONUCHIN, V. A. SIDOROV

Using the Novosibirsk set-up VEP-1 with colliding beams, the bremsstrahlung from the electron-electron scattering at  $2 \times 160 \text{ MeV}$  was studied. The integral cross section of  $\gamma$  quanta production and the probabilities of emission at the electron scattering for small ( $\sim 1.5^\circ$ ) and large ( $40-90^\circ$ ) angles was measured. Experimental data are in agreement with the results of quantumelectrodynamical calculations.